

П. А. Апанасевич, А. А. Афанасьев, А. И. Урбанович

**НЕСТАЦИОНАРНЫЙ ЭНЕРГООБМЕН МЕЖДУ ВСТРЕЧНЫМИ ВОЛНАМИ И СУЖЕНИЕ
СПЕКТРА ГЕНЕРАЦИИ ЛАЗЕРА К ЛИНИИ ПОГЛОЩЕНИЯ РЕЗОНАНСНОЙ СРЕДЫ
В РЕЗОНАТОРЕ**

Рассмотрено нестационарное воздействие мощной световой волны на пропускание слабой встречной волны той же частоты резонансной поглощающей средой с однородно-уширенной линией. Показано, что при интенсивности мощной волны, превышающей в 3,6 раз интенсивность насыщения перехода, может происходить усиление слабой волны, обусловленное передачей энергии от сильной волны вследствие дифракции излучения назад на светоиндуцированных нестационарных решетках коэффициента поглощения и показателя преломления резонансной среды. Такой обмен энергией между встречными волнами может быть одной из причин эффекта захвата частоты генерации широкополосного лазера в область поглощения резонансной среды, вносимой в резонатор.

Как известно при стационарном взаимодействии двух световых волн одинаковой частоты с нелинейной средой не может происходить передача энергии от сильной волны к слабой, так как в этом случае отсутствует фазовый сдвиг между интерференционным полем волн и светоиндуцированной им решеткой. Однако если светоиндуцированные решетки не успевают следить за изменением интерференционной картины поля, то обмен энергией между волнами в принципе возможен. В работе [1] этот эффект исследован для случая пересечения двух волн в резонансной среде под

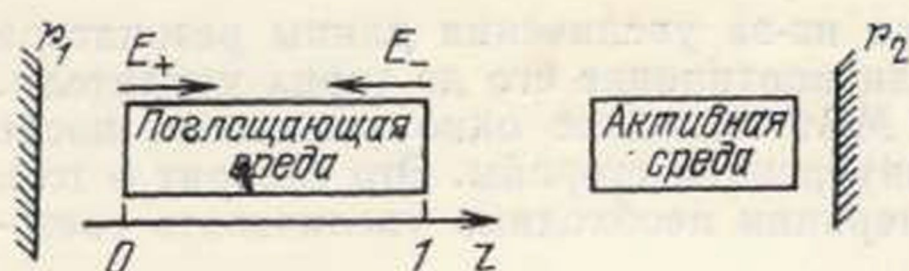


Рис. 1. Схема взаимодействия встречных волн в лазере с поглощающей средой; длина поглощающей среды L

частоты в резонансной поглощающей среде без каких-либо ограничений на амплитуду мощной волны. Оказывается, что такая передача возможна не только на крыльях, что было установлено в [1], но и в центре линии поглощения. По-видимому такая передача энергии между встречными волнами является основной причиной известного эффекта захвата частот генерации широкополосных лазеров в область поглощения резонансной среды, вносимой в резонатор [2—7].

Рассмотрим распространение в резонансной поглощающей среде двух встречных волн $E_-(z, t) \exp(-i\omega t - ik_- z)$ и $E_+(z, t) \exp(-i\omega t + ik_+ z)$ при условии, что $|E_+| \ll |E_-|$, $|E_{\text{нас}}|$ ($|E_{\text{нас}}|$ — амплитуда поля, насыщающего переход). Эти условия, как правило, реализуются в лазерах с резонансной средой, одно из зеркал резонатора которых имеет малый коэффициент отражения ($r_1 \ll 1$, рис. 1). Полагая сумму вероятностей d_1 спонтанных и неоптических переходов резонансной среды малой по сравнению с шириной γ линии поглощения и поле E_- не слишком сильным (удовлетворяющим условию $|E_- p| \ll \hbar \gamma$, где p — дипольный момент резонансного перехода), резонансную поляризованность поглощающей среды \mathcal{P} определим выражением

$$\begin{aligned} \mathcal{P} = i \frac{cn}{2\pi\omega} & \left\{ \left[U E_+ - d_1 a_\omega \exp \left(- \int_0^t \Gamma dt' \right) E_- \int_0^t E_-^* E_+ U \exp \left(\int_0^{t'} \Gamma dt'' \right) dt' \right] \times \right. \\ & \left. \times \exp ik_+ z + U E_- \exp (-ik_- z) \right\} \exp (-i\omega t) + \text{компл. сопр.,} \end{aligned} \quad (1)$$

$$U(z, t) = (\rho_\omega - i\kappa_\omega) \exp \left(- \int_0^t \Gamma dt' \right) \left[1 + d_1 \int_0^t \exp \left(\int_0^{t'} \Gamma dt'' \right) dt' \right],$$

где a_ω — параметр насыщения резонансного перехода излучением частоты ω ; ρ_ω — ненасыщенный амплитудный коэффициент поглощения; $\kappa_\omega = -\delta\rho_\omega$; $\delta = (\omega - \omega_0)/\gamma$ — отстройка частоты поля относительно частоты ω_0 резонансного перехода в единицах γ ; n — линейный показатель преломления; $\Gamma = d_1 (1 + a_\omega |E_-|^2)$.

Учитывая (1), систему уравнений, описывающую взаимодействие встречных волн при $|E_+| \ll |E_-|$, приведем к виду

$$\begin{aligned} -\frac{\partial E_-}{\partial z} + \frac{1}{v} \frac{\partial E_-}{\partial t} + U E_- &= 0, \\ \frac{\partial E_+}{\partial z} + \frac{1}{v} \frac{\partial E_+}{\partial t} + U E_+ &= d_1 a_\omega E_- \exp \left[- \int_0^t \Gamma dt' \right] \int_0^t E_-^* E_+ U \times \\ &\times \exp \left[\int_0^{t'} \Gamma dt'' \right] dt', \end{aligned} \quad (2)$$

где v — групповая скорость света.

Для выяснения влияния нестационарности решетки на взаимодействие встречных волн рассмотрим простейший случай, соответствующий граничным условиям $E_+(0) = E_c$; $E_-(L) = 0$ при $t < 0$ и $E_-(L) = E_0$ при $t \geq 0$. Полагая при этом $UL < 1$ и пренебрегая временными производными, что справедливо при $L \ll v/d_1$, систему уравнений (2) будем решать методом последовательных приближений.

Пренебрегая далее поглощением сильной волны и ограничиваясь членами, квадратичными по z , для пропускания $T(z, t) = J_+(z, t)/J_c$ слабого излучения из (2) находим

$$T(z, t) = 1 - 2\rho_\omega z f_1(t) + (\kappa_\omega z)^2 f_2(t), \quad (3)$$

$$f_1(t) = [1 + \alpha(2 + \alpha - \alpha\Gamma t) e^{-\Gamma t}] / (1 + \alpha)^2, \quad (4)$$

$$\begin{aligned} f_2(t) = \frac{\alpha^2 e^{-\Gamma t}}{(1 + \alpha)^2} & \{ (\alpha^2 - 2\alpha + 1)(1 - e^{-\Gamma t}) + [2 + 3\alpha + 2\alpha^2 - \\ & - \frac{\alpha}{2}(1 + \alpha)\Gamma t] \Gamma t - [2 + 3\alpha - \alpha(1 + \alpha)\alpha\Gamma t e^{-\Gamma t}] \}, \end{aligned} \quad (5)$$

углом θ . Расчет в [1], однако, выполнен без учета влияния излучения на кинетику населенностей уровней среды, вследствие чего полученные там результаты применимы лишь при мощностях, значительно меньших мощности, насыщающей переход, т. е. в области, где эффект обмена энергией мал.

В настоящей статье рассчитывается нестационарная передача энергии от мощной волны к встречной слабой волне той же

где $\alpha = \alpha_0 |E_0|^2$. В линейном режиме (при $\alpha \ll 1$), как и следовало ожидать в рассматриваемом случае, $T(z, t) = 1 - 2\rho_\omega z$. Этим выражением с заменой лишь ρ_ω на $\rho_\omega/(1 + \alpha)^2$ пропускание определяется и в установившемся режиме (при $\Gamma t \gg 1$) стационарного облучения среды мощным излучением. В течение переходного процесса зависимость пропускания T от параметров среды и излучения имеет существенно более сложный вид. В областях значений параметров, в которых f_1 отрицательно и (или) f_2 положительно, пропускание $T > 1$, т. е. происходит усиление слабого излучения. Это усиление обусловлено отражением (дифракцией) назад мощной световой волны на амплитудной (часть второго слагаемого в (3)) и фазовой (третье слагаемое) решетках, индуцированных в среде встречными волнами.

Из формулы (4) следует, что функция $f_1(t)$ в точке $t_{\min} = 2/\alpha d_1$ принимает минимальное значение $f_{1\min} = [1 - \alpha^2/\exp(2+1/\alpha)]/(1+\alpha)^2$. При мощностях сильной волны, удовлетворяющих условию $\alpha \geq 3,6$, функция $f_{1\min}(\alpha)$ отрицательна, т. е. дифракция на амплитудной решетке не только компенсирует поглощение, но и приводит к усилению слабого излучения. С дальнейшим ростом α $f_{1\min}$ монотонно стремится к значению $-\exp(-2) \approx -0,14$.

Функция $f_2(t)$, как следует из (5), принимает максимальное положительное значение в области Γt порядка единицы. В этой области перекачку энергии от сильной волны к слабой вызывает дифракция на фазовой решетке.

Зависимость пропускания $T(z, t)$ от частотной расстройки δ вблизи центра линии поглощения определяется вторым слагаемым в (3), а на крыльях линии — третьим слагаемым. Эта зависимость ($T(\delta) = T(-\delta)$) для некоторых значений мощности сильной волны (разных $\alpha_0 = \alpha(\delta=0)$) и в различные моменты времени приведена на рис. 2.

Из рис. 2, а видно, что в области умеренных интенсивностей излучения $T < 1$ во все моменты времени: с течением времени изменяется лишь форма контура линии поглощения. С увеличением α_0 пропускание T растет, причем в центре линии значительно быстрее, чем на крыльях, и при $\alpha_0 \geq 3,6$ $T > 1$, т. е. в центре линии возникает область усиления (рис. 2, б). Дальнейшее увеличение интенсивности излучения при тех же значениях τ приводит к уменьшению пропускания в области малых значений δ и образованию двух максимумов, расположенных симметрично относительно центра линии (рис. 2, в). С ростом α_0 эти максимумы удаляются друг от друга (смещаются в область больших частотных расстроек δ). При этом время их возникновения уменьшается, т. е. они смещаются к моменту включения мощного излучения (рис. 2, г). Увеличение оптической плотности резонансной среды $\rho_\omega z$ приводит к росту относительного вклада третьего слагаемого в (3). Поскольку оно имеет максимумы на крыльях линии поглощения, то рост $\rho_\omega z$ приводит к смещению максимумов функции пропускания $T(z, t)$ в область больших частотных расстроек δ .

Приведенные выше выводы из результатов расчета, по нашему мнению, полностью объясняют явление захвата частоты генерации широкополосных лазеров в область линии поглощения резонансной среды, вносимой в резонатор лазера [6, 7]. В импульсных лазерах на красителях взаимодействие излучения генерации с резонансной средой является нестационарным и поэтому рассмотренное выше усиление возможно. Оно проявляется как увеличение отражения в одной или двух узких спектральных

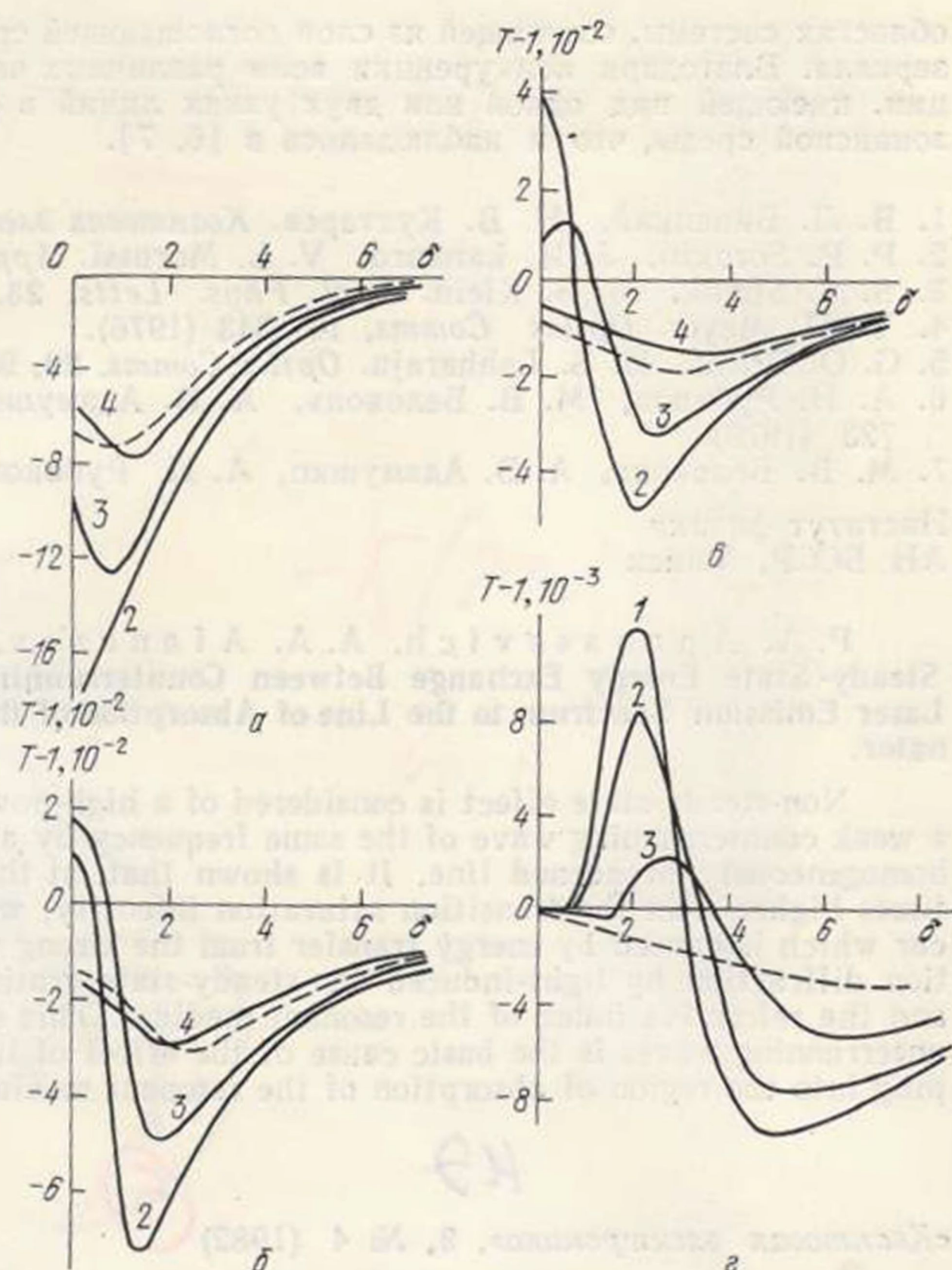


Рис. 2. Зависимость T от частотной расстройки δ при $\rho_\omega (\delta = 0) L = 0,3$ для $\alpha_0 = 2$ (а), 5 (б), 8 (в) и 50 (г) и $\tau = 0,25$ (1), 0,3 (2), 0,5 (3) и 1,3 (4). Пунктир соответствует установившемуся режиму ($\tau \gg 1$)

областях системы, состоящей из слоя поглощающей среды и расположенного за ним зеркала. Благодаря конкуренции волн различных частот это и приводит к генерации, имеющей вид одной или двух узких линий в области линии поглощения резонансной среды, что и наблюдалось в [6, 7].

1. В. Л. Винецкий, Н. В. Кухтарев. *Квантовая электроника*, 5, 857, (1978).
2. P. P. Sorokin, J. R. Lankard, V. L. Morussi. *Appl. Phys. Letts*, 15, 179 (1969).
3. S. V. Shank, M. B. Klein. *Appl. Phys. Letts*, 23, 156 (1973).
4. Y. H. Meyer. *Optics Comms*, 19, 343 (1976).
5. G. O. Brink, H. S. Lahharaju. *Optics Comms*, 29, 95 (1979).
6. А. Н. Рубинов, М. В. Белоконь, А. В. Адамушко. *Квантовая электроника*, 6, 723 (1979).
7. М. В. Белоконь, А. В. Адамушко, А. Н. Рубинов. *ЖПС*, 30, 633 (1979).

Институт физики
АН БССР, Минск

Поступило в редакцию
7 августа 1981 г.

P. A. Arpanasevich, A. A. Afanasev, A. I. Urbanovich. Non-Steady-State Energy Exchange Between Counterrunning Waves and Narrowing of the Laser Emission Spectrum to the Line of Absorption of the Resonant Medium in the Resonator.

Non-steady-state effect is considered of a high-power light wave on transmission of a weak counterrunning wave of the same frequency by a resonant absorbing medium with homogeneously broadened line. It is shown that, at the high-power wave intensity 3.6-times higher than the transition saturation intensity, weak wave amplification can occur which is caused by energy transfer from the strong wave due to the backward radiation diffraction by light-induced non-steady-state gratings of the absorption coefficient and the refractive index of the resonant medium. This energy exchange between the co-counterrunning waves is the basic cause of the effect of the wideband laser frequency trapping into the region of absorption of the resonant medium introduced into the resonator.